



Università degli Studi di Padova
Ingegneria dell' Automazione

DEPARTMENT OF
INFORMATION
ENGINEERING
UNIVERSITY OF PADOVA



Corso di Progettazione di Sistemi di Controllo A.A. 2011-2012

Introduzione

Consensus Newton-Raphson per l'ottimizzazione distribuita di funzioni convesse

Presentazione di

Giulio Veronesi.

Gruppo:

Andrea Bernardi, Enrico Regolin e Giulio Veronesi.

Overview

Lavoro di approfondimento dell'algoritmo:

F. Zanella, D. Varagnolo, A. Cenedese, G. Pillonetto, L. Schenato

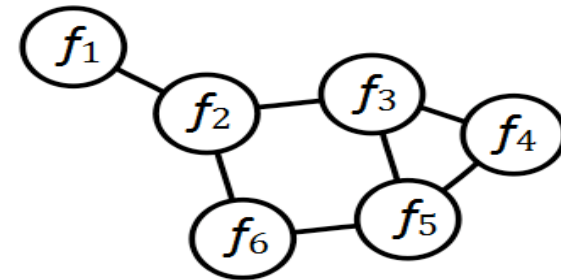
“Newton-Raphson consensus for distributed convex optimization”

[<http://paduareserch.cab.unipd.it/> Tech Rep - 2011]

- ❑ Descrizione l'algoritmo
- ❑ Applicazioni ed implementazioni
- ❑ Studio e tuning del parametro fondamentale

Ottimizzazione distribuita convessa

- Rete di agenti che devono cooperare per trovare il punto di ottimo



- Minimizzazione distribuita di una funzione costo globale, somma di tutte le funzioni costo convesse private :

$$\bar{f} : \mathbb{R} \rightarrow \mathbb{R} \quad \bar{f}(x) := \frac{1}{N} \sum_{i=1}^N f_i(x)$$

- Gli agenti devono raggiungere il consenso nel punto di ottimo:

$$x^* = \underset{x}{\operatorname{argmin}} \bar{f}(x)$$

Motivazioni

- Approccio distribuito vantaggioso rispetto a quello centralizzato:
 - Minori oneri computazionali
 - Economicità in termini energetici
 - Convergenza al punto di minimo e robustezza
- Problemi di ottimizzazione convessa positivamente ed efficacemente risolvibili
- Applicazione in casi di interesse come analisi di dati, problemi di regressione, stima distribuita, allocazione di risorse, mapping, etc.

Osservazioni sulle funzioni costo

- Funzioni costo quadratiche: $f_i(x) = \frac{1}{2}a_i(x - b_i)^2$

Il minimo vale:

$$x^* = \frac{\frac{1}{N} \sum_{i=1}^N a_i b_i}{\frac{1}{N} \sum_{i=1}^N a_i}$$

- Possiamo generalizzare al caso di funzioni costo convesse generiche ponendo:
(approssimazione locale con una parabola)

$$a_i b_i = f_i''(x_i) x_i - f_i'(x_i) =: g_i(x_i)$$

$$a_i = f_i''(x_i) =: h_i(x_i)$$



PARALLELO DI 2 AVERAGE CONSENSUS

L'algoritmo

Aggiornamento variabili
con consensus

Calcolo
nuovo stato

□ ϵ rende meno
aggressiva la stima dello
stato, opera una
combinazione convessa
tra stato vecchio e nuovo

(variabili)

1: $\mathbf{x}(k), \mathbf{y}(k, m), \mathbf{z}(k, m) \in \mathbb{R}^N, m = 0, \dots, M; k = 0, 1, \dots$

(parametri)

2: $P \in \mathbb{R}^{N \times N}$ matrice di consenso positiva e doppiamente stocastica

3: $\epsilon \in (0, 1)$

(inizializzazione)

4: $\mathbf{x}(0) = \mathbf{0}, \mathbf{g}(\mathbf{x}(-1)) = \mathbf{h}(\mathbf{x}(-1)) = \mathbf{0}$

5: $\mathbf{y}(0, M) = \mathbf{z}(0, M) = \mathbf{0}$

(algoritmo)

6: **for** $k = 1, 2, \dots$ **do**

7: $\mathbf{y}(k, 0) = \mathbf{y}(k - 1, M) + \mathbf{g}(\mathbf{x}(k - 1)) - \mathbf{g}(\mathbf{x}(k - 2))$

8: $\mathbf{z}(k, 0) = \mathbf{z}(k - 1, M) + \mathbf{h}(\mathbf{x}(k - 1)) - \mathbf{h}(\mathbf{x}(k - 2))$

9: **for** $m = 1, 2, \dots, M$ **do**

10: $\mathbf{y}(k, m) = P\mathbf{y}(k, m - 1)$

11: $\mathbf{z}(k, m) = P\mathbf{z}(k, m - 1)$

12: **end for**

13: $\mathbf{x}(k) = (1 - \epsilon)\mathbf{x}(k - 1) + \epsilon \frac{\mathbf{y}(k, M)}{M}$

14: **end for**

Commenti

- *Primal decomposition methods:*
 - Facile da implementare
 - Poche ipotesi (convessità funzioni costo)
 - Sincronizzazione agenti non necessaria
- Grafo associato non orientato e connesso
- Utilizzata P doppiamente stocastica, convergenza nella media degli stati iniziali (*average consensus*):

$$\frac{1}{N} \sum_{i=1}^N x_i(0)$$

- Implementazione con P costante e gossip

Doppia scala temporale - I

- Partendo dal sistema a tempo continuo

$$\begin{cases} \varepsilon \dot{\mathbf{v}}(t) = -\mathbf{v}(t) + \mathbf{g}(\mathbf{x}(t)) \\ \varepsilon \dot{\mathbf{w}}(t) = -\mathbf{w}(t) + \mathbf{h}(\mathbf{x}(t)) \\ \varepsilon \dot{\mathbf{y}}(t) = -K\mathbf{y}(t) + (I - K)[\mathbf{g}(\mathbf{x}(t)) - \mathbf{v}(t)] \\ \varepsilon \dot{\mathbf{z}}(t) = -K\mathbf{z}(t) + (I - K)[\mathbf{h}(\mathbf{x}(t)) - \mathbf{w}(t)] \\ \dot{\mathbf{x}}(t) = \mathbf{x}(t) + \frac{\mathbf{y}(t)}{\mathbf{z}(t)} \end{cases}$$

- Discretizzando con il metodo di Eulero in avanti, $T = \varepsilon$, per ε piccoli il sistema può essere scritto nella forma ($P = I - K$):

$$\begin{cases} \mathbf{v}(k + 1) = \mathbf{g}(\mathbf{x}(k)) \\ \mathbf{w}(k + 1) = \mathbf{h}(\mathbf{x}(k)) \\ \mathbf{y}(k + 1) = P[\mathbf{y}(k) + \mathbf{g}(\mathbf{x}(k)) - \mathbf{v}(k)] \\ \mathbf{z}(k + 1) = P[\mathbf{z}(k) + \mathbf{h}(\mathbf{x}(k)) - \mathbf{w}(k)] \\ \mathbf{x}(k + 1) = (1 - \varepsilon)\mathbf{x}(k) + \varepsilon \frac{\mathbf{y}(k)}{\mathbf{z}(k)} \end{cases}$$

Doppia scala temporale - II

- Sistema a doppia scala temporale, regolata dal parametro ε (studio successivo)
- Sistemi con una dinamica veloce (prime 4 equazioni - Consensus) ed una lenta (ultima equazione - NR)

➔ *Standard singular perturbation models* (Khalil)

- Si giunge all'approssimazione: $\mathbf{x}(t) \approx \bar{\mathbf{x}}(t)\mathbb{1} \quad \dot{\bar{\mathbf{x}}}(t) = -\frac{\bar{f}'(\bar{\mathbf{x}}(t))}{\bar{f}''(\bar{\mathbf{x}}(t))}$
- Si tratta di un Algoritmo di Newton-Raphson che converge al punto di minimo, formula generale:

$$\mathbf{x}_{k+1} = \mathbf{x}_k - \frac{f(\mathbf{x}_k)}{f'(\mathbf{x}_k)} \xrightarrow{k \rightarrow +\infty} \mathbf{x}^*$$

Teorema fondamentale

□ Teorema:

$f_i \in \mathcal{C} \hat{\mathcal{I}}^2$ convesse, condizioni iniziali nulle, $x^{\uparrow*} \neq \pm\infty$, \exists

$\hat{\mathcal{W}}^{\uparrow*} \in (0,1)$ tale che $\forall \hat{\mathcal{W}} < \hat{\mathcal{W}}^{\uparrow*}$ si ha: $\lim_{\tau \rightarrow k \rightarrow$

$+\infty \mathbf{x}(k) = x^{\uparrow*} \mathbf{1}$

□ Proposizione

~~Gli stati iniziali di \mathbf{x} possono essere arbitrari, invece le condizioni~~



~~ϵ errato:~~

~~iniziali di $\mathcal{V}, \mathcal{W}, \mathcal{Y}, \mathcal{Z}$ devono essere suff. piccole,~~

~~○ Troppo grande: divergenza variabili di stato,
non si giunge al minimo~~

~~○ Troppo piccolo: lentezza di raggiungimento del consensus~~

P gossip

- Algoritmi Gossip:
 - Riduzione numero trasmissioni necessarie
 - Evitano collisioni ed errori nello scambio dati
- Implementazione con P gossip – *probabilistic consensus*
 - Minor sincronismo tra i nodi
 - Comunicazione tra nodi distanti al più 4 lati
 - Poche modifiche all'algoritmo precedente
- La matrice P cambia ad ogni iterazione
- Risultati paragonabili alla versione sincrona dell'algoritmo

Applicazioni: stima distribuita

- Si vuole stimare il valore medio di una serie di misure rilevate da sensori in maniera distribuita (inquinamento, temperatura, umidità, etc.)
- Approccio distribuito molto più efficiente del classico approccio centralizzato:
 - Meno bit trasmessi
 - Minor dispendio energetico
- È un problema di ottimizzazione convessa:

$$x^* = \underset{x}{\operatorname{argmin}} \bar{f}(x) = \underset{x}{\operatorname{argmin}} \frac{1}{n} \sum_{i=1}^n f_i(x) \quad f_i(x) = \frac{1}{m} \sum_{j=1}^m (x_{i,j} - x)^2$$

- Possiamo applicare l'algoritmo, si avrà convergenza nel punto di ottimo/media.

Applicazioni: regressioni

- Problema di identificazione di una funzione da una serie di dati rilevati.
- Parametrizzazione per trovare la funzione di interesse:

$$f_{\theta}(x) = \sum_{i=1}^m \theta_i h_i(x)$$

- Parametri incogniti determinabili attraverso (problema di minimizzazione) :

$$\theta^* = \underset{\theta}{\operatorname{argmin}} \sum_{i=1}^N (y_i - f_{\theta}(x_i))^2$$

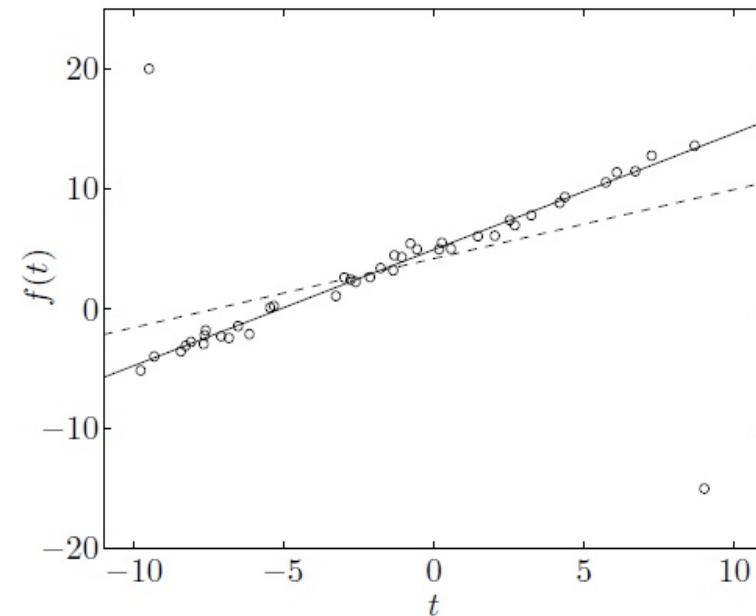
NB. È un problema di regressione lineare (utilizzo di funzioni quadratiche – *minimizzazione ai minimi quadrati*)



Poca robustezza agli *outliers*

Applicazioni: regressioni

- *Outliers*: valori anomali rispetto alle altre misure.
- Metodi di regressione robusta: contrastano la presenza di *outliers* attraverso funzioni costo apposite.
- Presenza di 2 *outliers*, differenze di risultati:
 - Funzione costo quadratica (retta tratteggiata)
 - Funzione costo di *Laplace* (retta continua)
- Implementazione algoritmo con funzioni costo “robuste”



Altre applicazioni trattate:

- Calibrazione di sensori
- Allocazione di risorse
- Localizzazione di una fonte acustica

In tutte le applicazioni presentate vi è la minimizzazione distribuita di una cifra di merito



si può utilizzare l'algoritmo presentato



Università degli Studi di Padova
Ingegneria dell' Automazione

DEPARTMENT OF
INFORMATION
ENGINEERING
UNIVERSITY OF PADOVA



Consensus Newton-Raphson per l'ottimizzazione distribuita di funzioni convesse

Applicazione: Mapping

Presentazione di *Enrico Regolin*

Gruppo: *Andrea Bernardi, Enrico Regolin e Giulio Veronesi.*

Mapping 1

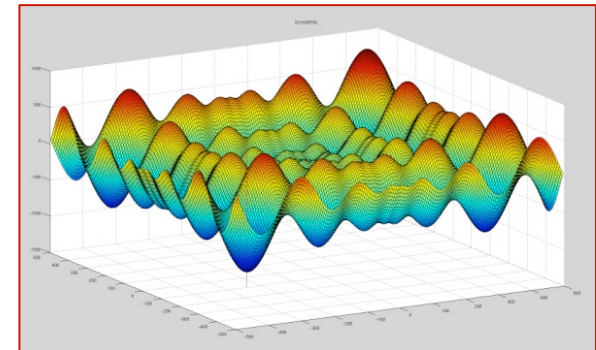
- Perché mapping?
 - Applicazione pratica dell'algoritmo proposto in [1]
 - Utilizzo delle funzioni costo robuste viste in precedenza



Distributed Mapping

Ricostruzione di un profilo come somma di funzioni elementari

- Multivariable Distributed Newton-Raphson
 - Rumore gaussiano additivo
 - OUTLIERS



[1] F. Zanella, D. Varagnolo, A. Cenedese, G. Pillonetto, L. Schenato, "Newton-Raphson consensus for distributed convex optimization", <http://paduaresearch.cab.unipd.it/>, Tech Rep., 2011.

Mapping 2

□ Ricostruzione di una mappa monodimensionale

- Temperatura/umidità lungo un corridoio
- Livello di inquinamento di un fiume

□ Somma di “campane” equispaziate $c_i(x) = a_i e^{-\frac{(x-w_i)^2}{R}}$

- Larghezza e distanza tra le campane dipendono dal tipo di mappa che ci si aspetta
- Il contributo di ciascuna campana è pressoché nullo nei punti distanti
- Numero di sensori N diverso dal numero di campane M
- Mappa ricostruita:

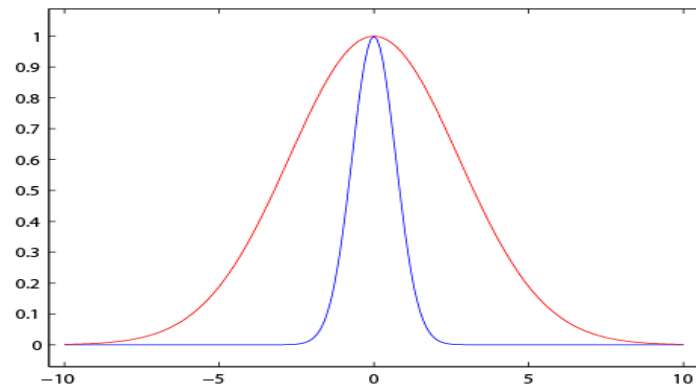
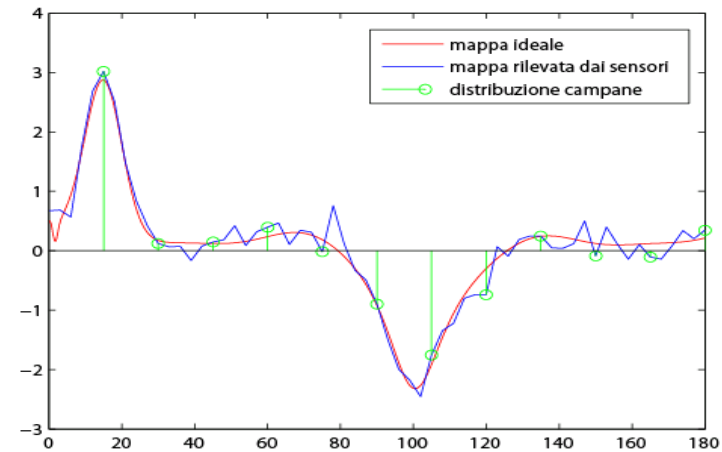
$$C(x, \mathbf{a}(k)) = \sum_{i=1}^M c_i(x, a_i(k))$$

Mapping 3

- Caratteristiche mappa
 - Lunghezza: 180
 - Distanza tra 2 sensori: 3 (61 totali)

- Caratteristiche campane
 - Distanza tra due campane: 15 (13 totali)
 - Fattore $R=15$

$$c_i(x) = a_i e^{-\frac{(x-w_i)^2}{R}}$$



Mapping: Newton-Raphson

- Soluzione del problema di mapping come ricerca del minimo di una funzione costo

- Somma delle distanze pesate tra il valore acquisito e la ricostruzione della mappa in quel punto.

- Funzione costo globale:

$$F(\mathbf{a}) = \sum_{i=1}^N f_i(\mathbf{a}), \quad F : \mathbb{R}^M \rightarrow \mathbb{R}$$

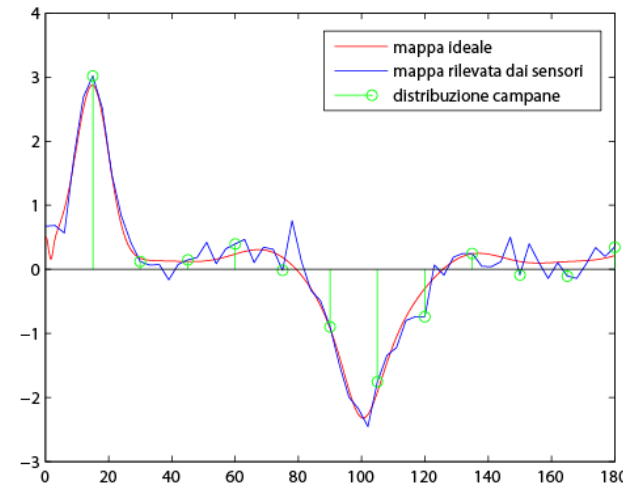
- Il valore della singola funzione costo dipende dalla funzione peso che si usa per l'errore!

- Soluzione

- Newton-Raphson classico:

$$\mathbf{a}(n+1) = \mathbf{a}(n) - [H_F(\mathbf{a}(n))]^{-1} \nabla F(\mathbf{a}(n))$$

- Distributed Newton-Raphson, caso multivariabile



Newton-Raphson centralizzato

- Bisogna calcolare ad ogni ciclo i valori del gradiente e dell'Hessiana nell'espressione: $\mathbf{a}(n+1) = \mathbf{a}(n) - [H_F(\mathbf{a}(n))]^{-1} \nabla F(\mathbf{a}(n))$

- Definiamo la funzione costo $F(\mathbf{a}) = \sum_{i=1}^N g(y_i - C(x_i, \mathbf{a}))$
- lasciando indeterminata la funzione $g(\cdot)$, che “pesa” l' i -esimo errore di approssimazione $z_i := y_i - C(x_i, \mathbf{a})$

- Allora calcolando il gradiente si trova:

$$\begin{bmatrix} \frac{\partial F}{\partial a} \\ \vdots \\ \frac{\partial F}{\partial a_1} \end{bmatrix} \nabla F(\mathbf{a}(n)) = -S \begin{bmatrix} g'(z_1) \\ \vdots \\ g'(z_N) \end{bmatrix} \begin{bmatrix} \frac{\partial z_N}{\partial a_1} \\ \vdots \\ \frac{\partial z_N}{\partial a_M} \end{bmatrix}$$

Newton-Raphson centralizzato

- Espressione della matrice costante S che interviene nel calcolo del gradiente

$$S = \begin{bmatrix} e^{-(x_1-w_1)^2} & \dots & e^{-(x_N-w_1)^2} \\ e^{-(x_1-w_2)^2} & \dots & e^{-(x_N-w_2)^2} \\ \vdots & \ddots & \vdots \\ e^{-(x_1-w_M)^2} & \dots & e^{-(x_N-w_M)^2} \end{bmatrix}$$

- S è determinata univocamente dalla posizione di sensori e "campane".

- La matrice hessiana delle derivate parziali seconde è

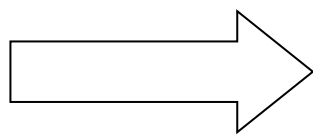
$$H_F(a) = SG''S^T \quad G'' = \begin{bmatrix} g''(z_1) & \dots & 0 \\ \vdots & \ddots & \vdots \\ 0 & \dots & g''(z_N) \end{bmatrix}$$

- Per sicurezza si somma una matrice diagonale δI_M prima dell'inversione della matrice Hessiana.

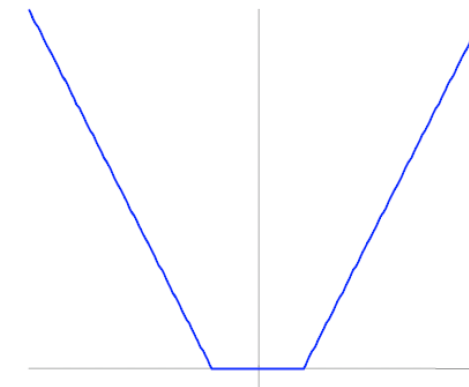
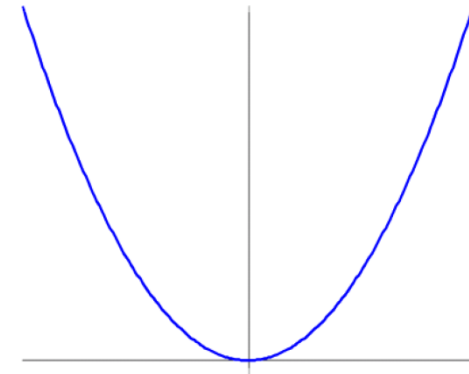
Funzioni costo

- Scelta della funzione “peso” dell’errore.
 - Quadratica (calcoli piú semplici)
 - Laplace (contrasto degli outliers)
 - In presenza di outliers conviene adottare una funzione costo di Laplace

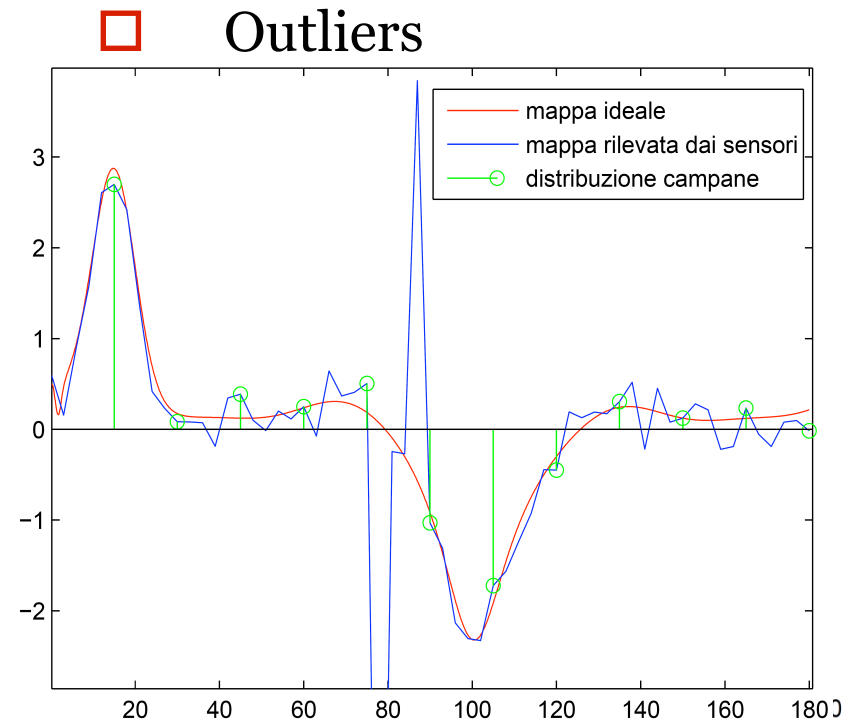
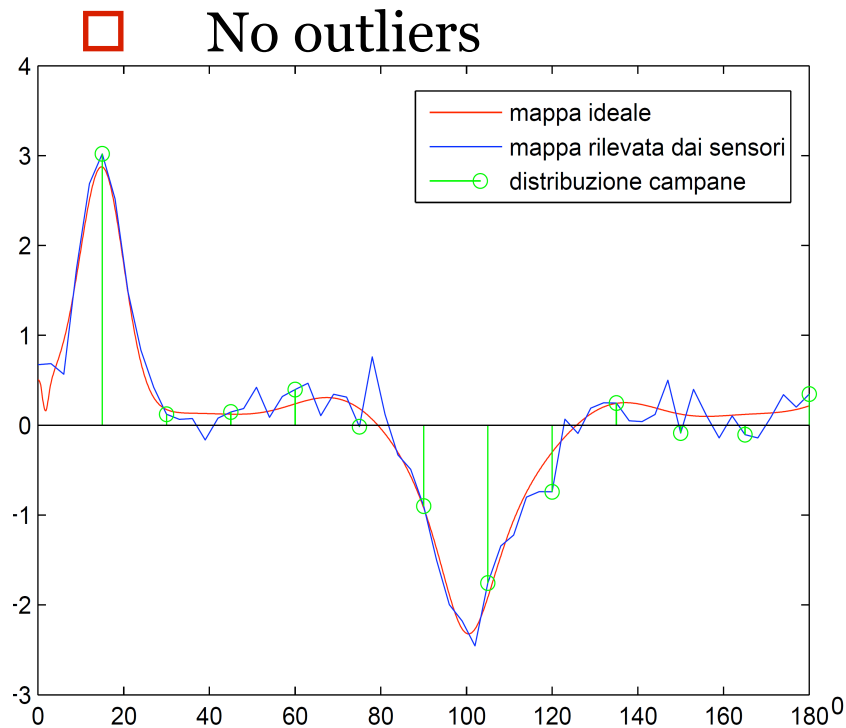
- Problema: per applicare Newton-Raphson è necessario che la funzione sia derivabile 2 volte



Ramo di iperbole con
asintoti coincidenti con i
rami della funzione di
Laplace



Newton-Raphson centralizzato



□ A regime:

- Iperbolica: < 50 iterazioni
- Quadratica: < 15 iterazioni

Distributed Newton-Raphson

□ Distributed Newton Raphson: scalare e multivariabile

(algoritmo)

9: **for** $n = 1, 2, \dots$ **do**

(aggiornamenti locali)

10: **for** $i = 1$ to N **do**

Fase 1

11: $g_i(n) = \nabla^2 f_i(x_i(n))x_i(n) - \nabla f_i(x_i(n))$

12: $H_i(n) = \nabla^2 f_i(x_i(n))$

13: $y_i(n) = y_i(n-1) + g_i(n-1) - g_i(n-2)$

14: $Z_i(n) = Z_i(n-1) + H_i(n-1) - H_i(n-2)$

15: **end for**

(“average consensus” multidimensionale)

Fase 2

16: $Y(n) = (P \otimes I_M)Y(n)$

17: $Z(n) = (P \otimes I_M)Z(n)$

(aggiornamenti locali)

18: **for** $i = 1$ to N **do**

Fase 3

19: $x_i(n) = (1 - \varepsilon)x_i(n-1) + \varepsilon(Z_i(n))^{-1}y_i(n)$

20: **end for**

21: **end for**

Distributed Mapping: Fase 1

- Fase 1 (ciclo di Newton-Raphson locale)
 - Calcolo dell'errore di predizione presso ciascun sensore secondo il proprio vettore di coefficienti :

$$z_i(\mathbf{a}^{(i)}(n)) = y_i - G(x_i, \mathbf{a}^{(i)}(n))$$

- (righe 11 e 12) Calcolo dei valori $H_i(z_i)$ e $g_i(z_i)$ a partire da gradiente e hessiana della funzione peso dell'errore locale $f(z_i)$.

Scrivendo l'errore z_i nella forma:

$$y_i - a_1^{(i)} e^{-(x_i - w_1)^2} - \dots - a_M^{(i)} e^{-(x_i - w_M)^2}$$

le derivate rispetto ai coefficienti sono molto semplici da calcolare e conducono al gradiente locale:

$$\nabla f(z_i) = f'(z_i) \begin{bmatrix} \frac{\partial z_i}{\partial a_1} \\ \vdots \\ \frac{\partial z_i}{\partial a_M} \end{bmatrix} = -f'(z_i) S_i$$

Distributed Mapping: Fase 1

- Il vettore S_i , così come la matrice \underline{S} vista nel caso centralizzato, è costante.

- È univocamente determinato dalla posizione dell' i -esimo sensore rispetto ai centri delle campane.

$$S_i = \begin{bmatrix} e^{-(x_i - w_1)^2} \\ \vdots \\ e^{-(x_i - w_M)^2} \end{bmatrix}$$

- La matrice delle derivate seconde è data da:

$$\frac{\partial^2 f(z_i)}{\partial a_j \partial a_k} = f''(z_i) \frac{\partial z_i}{\partial a_j} \frac{\partial z_i}{\partial a_k} + f'(z_i) \frac{\partial^2 z_i}{\partial a_j \partial a_k}$$

$$= f''(z_i) \frac{\partial z_i}{\partial a_k} \frac{\partial z_i}{\partial a_j}$$

$$= f''(z_i) e^{-(x_i - w_k)^2 - (x_i - w_j)^2}$$

$$\nabla^2 f(z_i) = f''(z_i) S_i S_i^T$$

Distributed Mapping: Fasi 2/3

□ Fase 2 (ciclo di consenso)

- Ogni agente scambia con i propri vicini l'informazione
- Nella simulazione Matlab, questo avviene con il prodotto di Kronecker

$$A \otimes B = \begin{bmatrix} a_{11}B & \cdots & a_{1n}B \\ \vdots & \ddots & \vdots \\ a_{m1}B & \cdots & a_{mn}B \end{bmatrix}$$

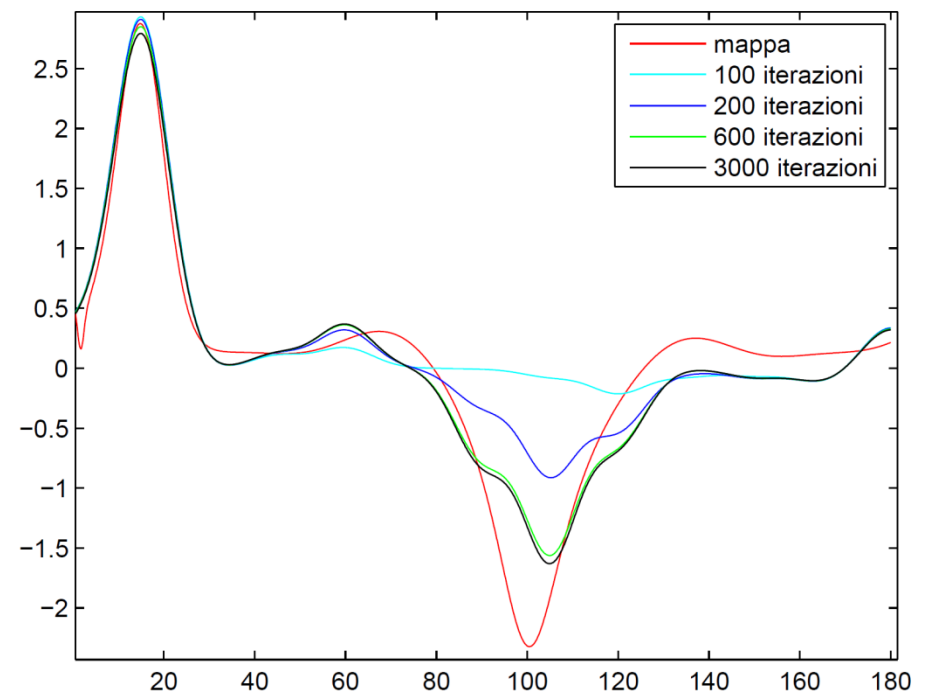
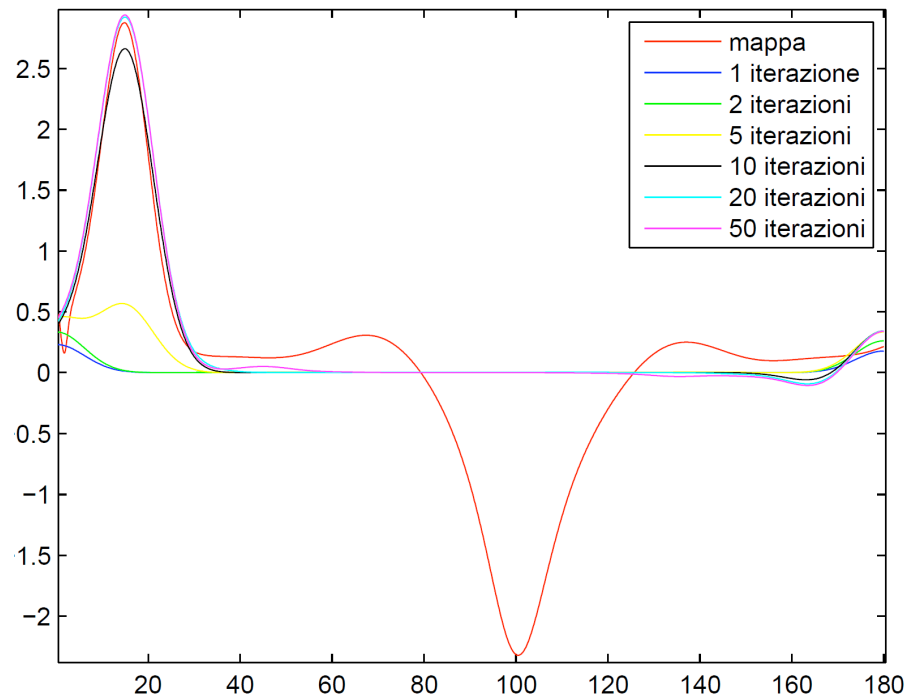
□ Fase 3 (aggiornamento parametri)

$$x_i(n) = (1 - \varepsilon)x_i(n - 1) + \varepsilon(Z_i(n))^{-1}y_i(n)$$

- Attenzione all'eventuale singolarità della matrice $Z_i(n)$!
- La pesantezza dell'algoritmo dipende dalla dimensione di $Z_i(n)$.

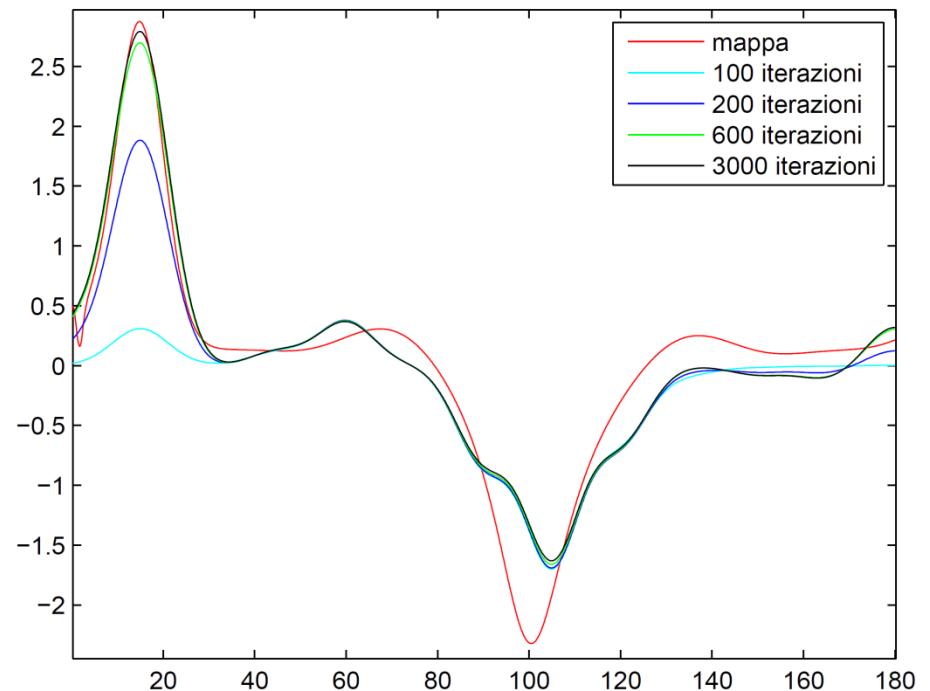
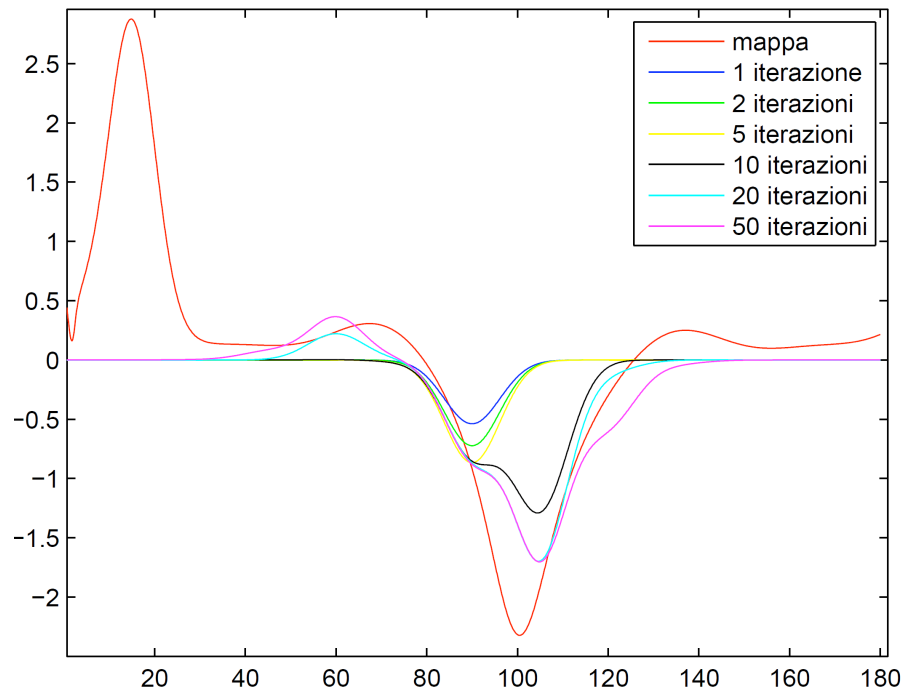
Distributed Mapping: Risultati 1

□ Mappa disponibile presso l'agente 1 (su 61)



Distributed Mapping: Risultati 2

□ Mappa disponibile presso l'agente 30 (su 61)



■ Consensus dopo circa 500 iterazioni

Mapping: Conclusioni

- Newton-Raphson Distribuito
 - Algoritmo funzionante
 - Possibile miglioramento: ogni agente contribuisce solo ad aggiornare i coefficienti relativi a campagne vicine

- Outliers
 - Funzioni costo iperboliche riducono l'influenza degli outliers



Università degli Studi di Padova
Ingegneria dell' Automazione

DEPARTMENT OF
INFORMATION
ENGINEERING
UNIVERSITY OF PADOVA



Consensus Newton-Raphson per l'ottimizzazione distribuita di funzioni convesse

Tuning del fattore di scala temporale ε

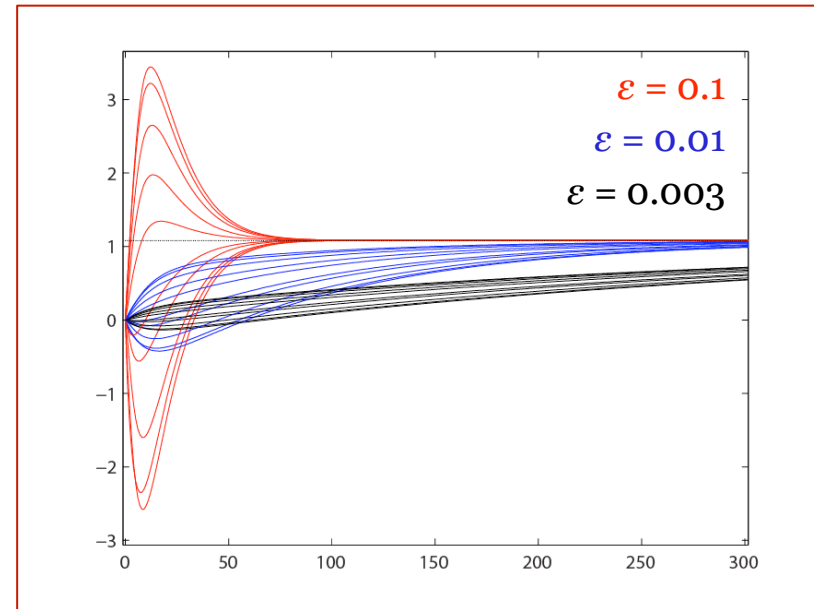
Presentazione di *Andrea Bernardi*.

Gruppo: *Andrea Bernardi, Enrico Regolin e Giulio Veronesi.*

Ruolo del parametro ε

- Il parametro ε gioca un ruolo fondamentale per
 - la stabilità
 - la velocità di convergenza

- Teorema
 - Esiste ε^* tale che per ogni $\varepsilon < \varepsilon^*$ è garantita la stabilità esponenziale



$$f_i(x) = c_i e^{a_i x} + d_i e^{-b_i x}, \quad i = 1, \dots, N$$
$$a_i, b_i \sim \mathcal{U}[0, 0.2], \quad c_i, d_i \sim \mathcal{U}[0, 1]$$

[1] F. Zanella, D. Varagnolo, A. Cenedese, G. Pillonetto, L. Schenato, *Newton-Raphson consensus for distributed convex optimization*, <http://paduaresearch.cab.unipd.it/>, Tech Rep., 2011.

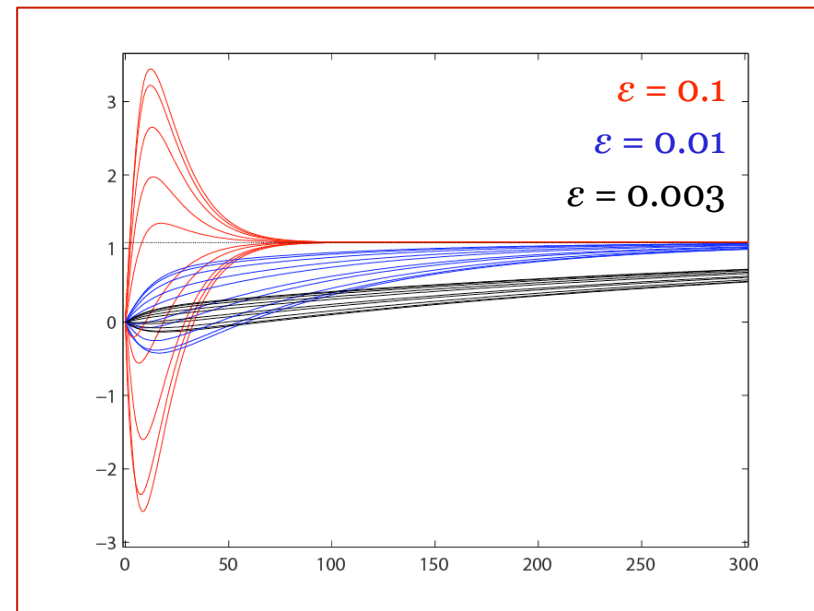
[2] H. K. Khalil, *Nonlinear Systems (third edition)*, Prentice Hall, 2002.

Autotuning centralizzato di ε

- Algoritmo adattativo
 - Retroazione dagli stati a ε
 - Distanza dal punto di minimo ignota

- Incrementi delle variabili di stato $\delta(k) = |x(k) - x(k-1)|$

- Se crescono \longrightarrow divergenza
- Se decrescono \longrightarrow convergenza

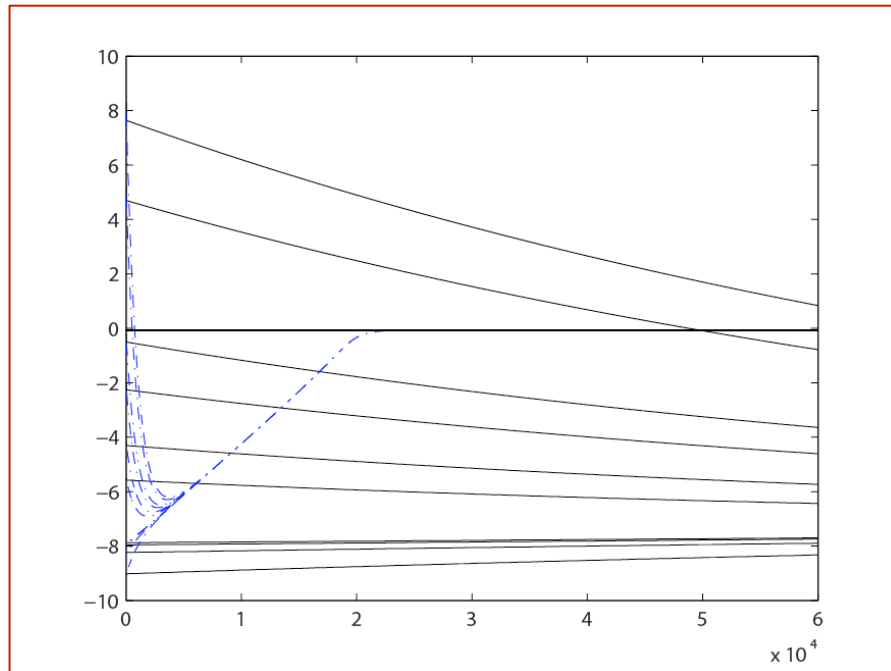


Algoritmo per il tuning di ε

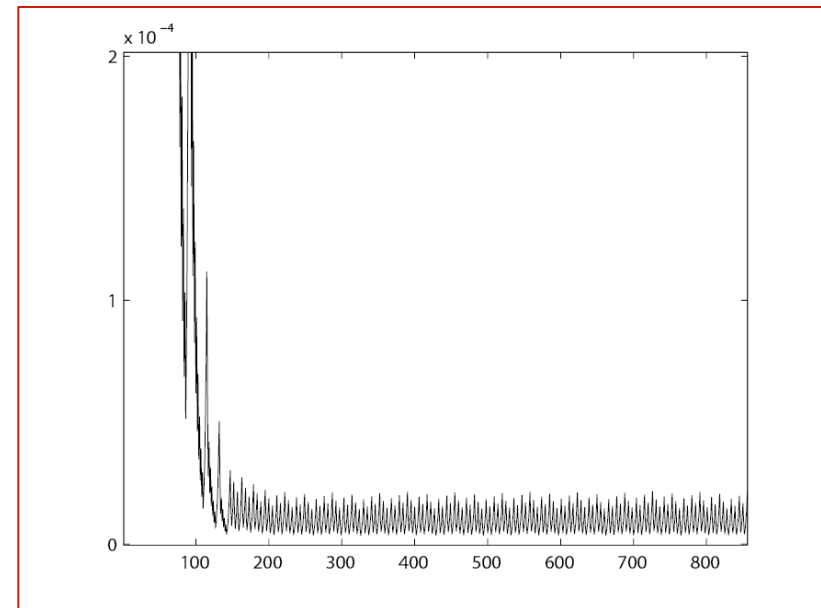
```
1:  $\delta(k-1) = \left| \frac{y^{(k-1)}}{z^{(k-1)}} - \frac{y^{(k-2)}}{z^{(k-2)}} \right|$ 
2:  $\delta(k) = \left| \frac{y^{(k)}}{z^{(k)}} - \frac{y^{(k-1)}}{z^{(k-1)}} \right|$ 
3: if  $\sum_{i=1}^N \delta_i(k-1) > \sum_{i=1}^N \delta_i(k)$  then           ▷ aumenta  $\varepsilon$ 
4:   if  $\varepsilon < 0.5$  then
5:      $\varepsilon = 1.5\varepsilon$ 
6:   else
7:      $\varepsilon = \varepsilon + (1 - \varepsilon) / 2.5$ 
8:   end if
9: else           ▷ riduci  $\varepsilon$ 
10:   $\varepsilon = \varepsilon / 2$ 
11: end if
```

- Ad ogni iterazione si valuta la media degli incrementi
- Evitare la divergenza è più importante che velocizzare l'algoritmo
- ε deve appartenere all'intervallo $[0,1]$

Simulazione



- Si notano troppe oscillazioni su ε
- Campionare meno frequentemente
- Che valore assegnare al periodo τ ?



$$f_i(x) = c_i e^{a_i x} + d_i e^{-b_i x}, \quad i = 1, \dots, N$$
$$a_i, b_i \sim \mathcal{U}[0, 3], \quad c_i, d_i \sim \mathcal{U}[0, 1]$$

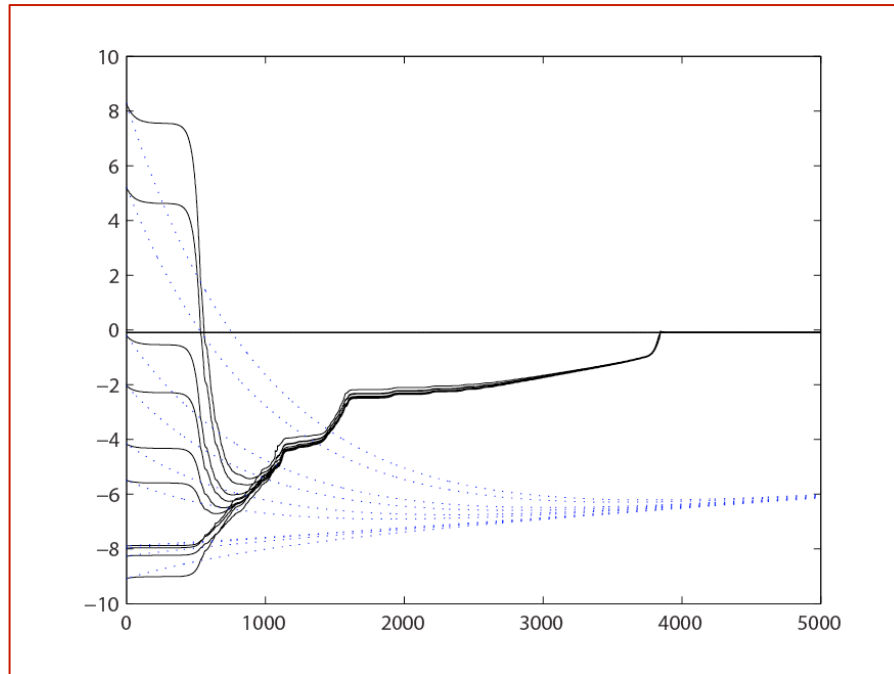
Introduzione del periodo τ

```
1:  $\delta(h - \tau) = \left| \frac{\mathbf{y}(h-\tau)}{\mathbf{z}(h-\tau)} - \frac{\mathbf{y}(h-\tau-\bar{\tau})}{\mathbf{z}(h-\tau-\bar{\tau})} \right|$ 
2:  $\delta(h) = \left| \frac{\mathbf{y}(h)}{\mathbf{z}(h)} - \frac{\mathbf{y}(h-\tau)}{\mathbf{z}(h-\tau)} \right|$ 
3: if  $\sum_{i=1}^N \delta_i(h - \tau) > \sum_{i=1}^N \delta_i(h)$  then ▷ aumenta  $\varepsilon$ 
4:   if  $\varepsilon < 0.5$  then
5:      $\varepsilon = 1.5\varepsilon$ 
6:   else
7:      $\varepsilon = \varepsilon + (1 - \varepsilon) / 2.5$ 
8:   end if
9:    $\tau = \tau / 2$  ▷ e riduci il periodo
10:  if  $\tau < 1$  then
11:     $\tau = 1$ 
12:  end if
13: else ▷ riduci  $\varepsilon$ 
14:    $\varepsilon = \varepsilon / 2$ 
15:    $\tau = \tau * 2$  ▷ e aumenta il periodo
16: end if
```

■ Si dimezza τ in fase di convergenza

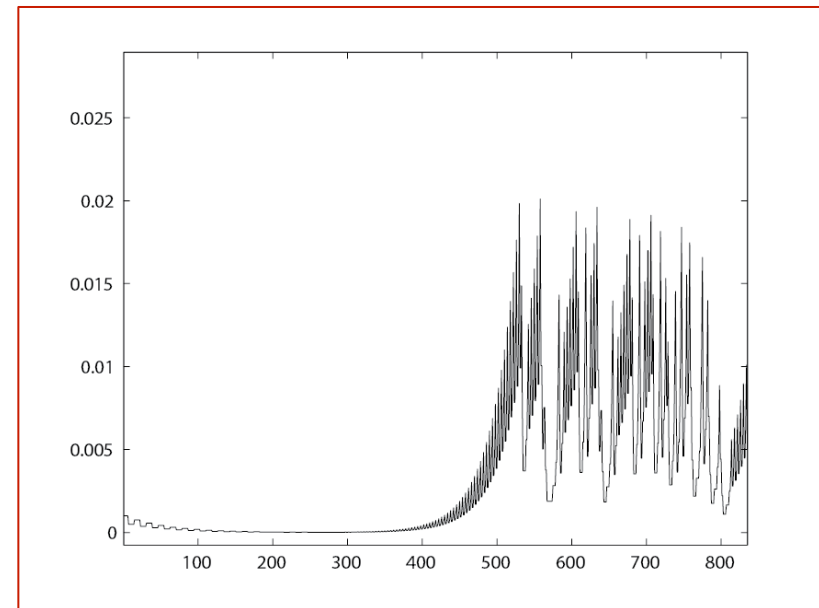
■ Si raddoppia τ in fase di divergenza

Simulazione



- L'algoritmo cerca di raggiungere un determinato valore, senza riuscirci

- Buone prestazioni in termini di iterazioni totali
- Le oscillazioni di ε sono diminuite, ma ancora presenti



Perfezionamento dell'algoritmo

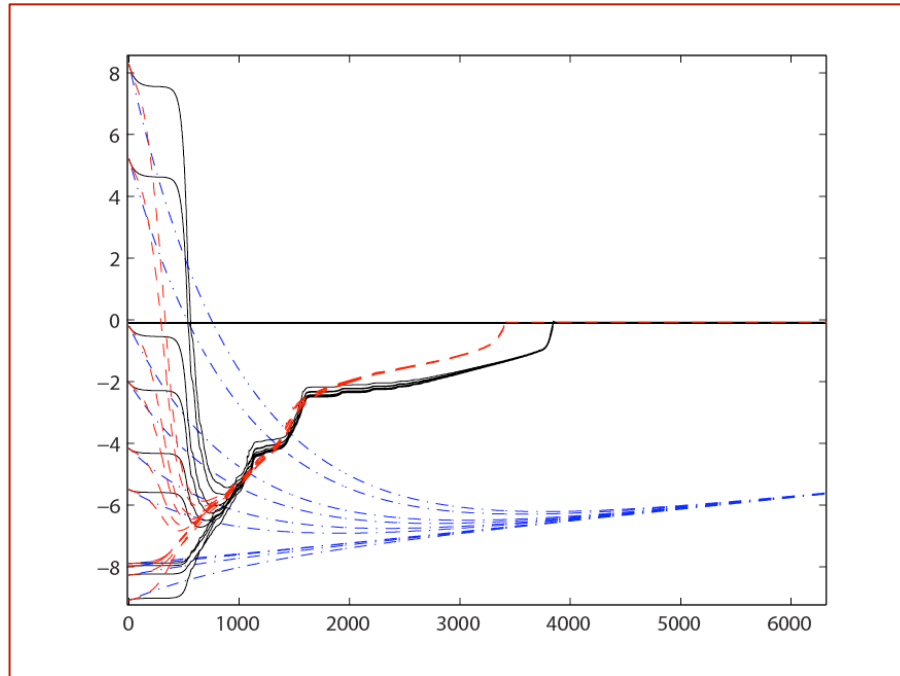
```
1:  $\delta(h - \tau) = \left| \frac{y(h-\tau)}{z(h-\tau)} - \frac{y(h-\tau-\bar{\tau})}{z(h-\tau-\bar{\tau})} \right|$   
2:  $\delta(h) = \left| \frac{y(h)}{z(h)} - \frac{y(h-\tau)}{z(h-\tau)} \right|$   
3: if  $\sum_{i=1}^N \delta_i(h - \tau) > \sum_{i=1}^N \delta_i(h)$  then
```

```
4:   if  $\varepsilon$  è stato aumentato precedentemente then  
5:      $\bar{\varepsilon} = \varepsilon$   $\triangleright$  continua ad aumentarlo  
6:   if  $\varepsilon < 0.5$  then  
7:      $\varepsilon = 1.5\varepsilon$   
8:   else  
9:      $\varepsilon = \varepsilon + (1 - \varepsilon)/2.5$   
10:  end if  
11:  else  $\triangleright$  se in precedenza è diminuito,  
12:     $\Delta_\varepsilon = |\bar{\varepsilon} - \varepsilon|$   
13:     $\bar{\varepsilon} = \varepsilon$   
14:     $\varepsilon = \varepsilon + \Delta_\varepsilon/2$   $\triangleright$  riportalo a un valore intermedio  
15:  end if  
16:   $\tau = \tau/2$   
17:  if  $\tau < 1$  then  
18:     $\tau = 1$   
19:  end if  
20: else
```

■ Procedimento dicotomico di avvicinamento asintotico al valore di ε

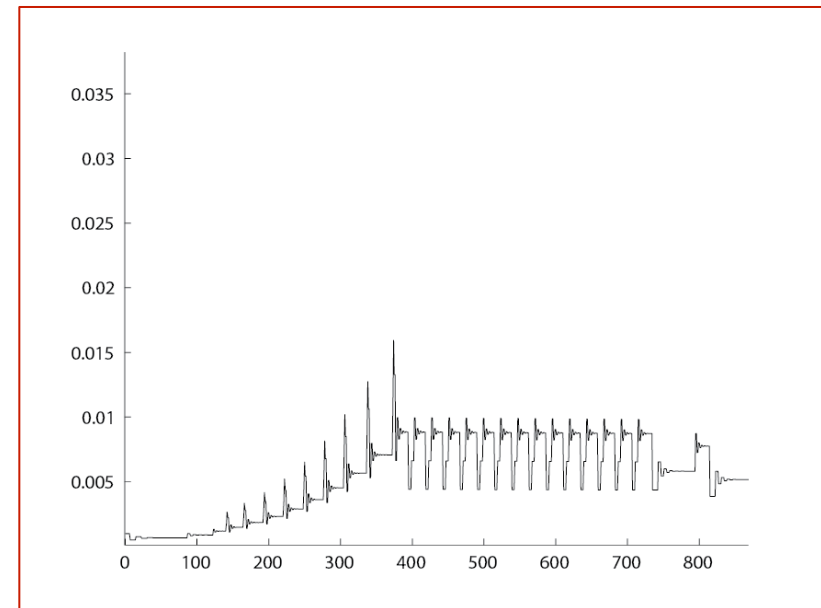
```
20: else  
21:   if  $\varepsilon$  è stato aumentato precedentemente then  
22:      $\Delta_\varepsilon = |\bar{\varepsilon} - \varepsilon|$   
23:      $\bar{\varepsilon} = \varepsilon$   
24:      $\varepsilon = \varepsilon + \Delta_\varepsilon/2$   $\triangleright$  riducilo ad un valore intermedio  
25:   else  $\triangleright$  se in precedenza è diminuito,  
26:      $\varepsilon = \varepsilon/2$   $\triangleright$  continua a diminuirlo  
27:      $\bar{\varepsilon} = \varepsilon$   
28:   end if  
29:    $\tau = \tau * 2$   
30: end if
```

Simulazione



- Ottenuto un algoritmo indipendente dal valore iniziale di ε , più veloce di quello con ε costante

- Ulteriore riduzione delle iterazioni totali
- Migliore andamento del parametro ε



Versione distribuita

- Un diverso parametro ε per ogni agente
 - Vantaggio: si ottiene un algoritmo distribuito
 - Svantaggio: ε distinti creano problemi perché ogni agente ha una velocità di convergenza diversa

- Applicazione alla versione con matrice di *consensus gossip*
 - Si ottiene un algoritmo asincrono

Algoritmo distribuito

$$1: \delta_i(h - \tau_i) = \left| \frac{y_i(h - \tau_i)}{z_i(h - \tau_i)} - \frac{y_i(h - \tau_i - \bar{\tau}_i)}{z_i(h - \tau_i - \bar{\tau}_i)} \right|$$

$$2: \delta_i(h) = \left| \frac{y_i(h)}{z_i(h)} - \frac{y_i(h - \tau_i)}{z_i(h - \tau_i)} \right|$$

3: **if** $\delta_i(h - \tau) > \delta_i(h)$ **then**

4: **if** ε_i è stato aumentato precedentemente **then**

5: $\bar{\varepsilon}_i = \varepsilon_i$

6: **if** $\varepsilon_i < 0.5$ **then**

7: $\varepsilon_i = 1.5\varepsilon_i$

8: **else**

9: $\varepsilon_i = \varepsilon_i + (1 - \varepsilon_i) / 2.5$

10: **end if**

11: **else**

12: $\Delta_{\varepsilon_i} = |\bar{\varepsilon}_i - \varepsilon_i|$

13: $\bar{\varepsilon}_i = \varepsilon_i$

14: $\varepsilon_i = \varepsilon_i + \Delta_{\varepsilon_i} / 2$

15: **end if**

16: $\tau_i = \tau_i / 2$

17: **if** $\tau_i < 1$ **then**

18: $\tau_i = 1$

19: **end if**

20: **else**

■ Ad ogni iterazione si valuta l'incremento di stato del singolo agente

■ Per evitare che i periodi τ crescano troppo si impone un τ_{max}

20: **else**

21: **if** ε è stato aumentato precedentemente **then**

22: $\Delta_{\varepsilon_i} = |\bar{\varepsilon}_i - \varepsilon_i|$

23: $\bar{\varepsilon}_i = \varepsilon_i$

24: $\varepsilon_i = \varepsilon_i + \Delta_{\varepsilon_i} / 2$

25: **else**

26: $\varepsilon_i = \varepsilon_i / 2$

27: $\bar{\varepsilon}_i = \varepsilon_i$

28: **end if**

29: $\tau_i = \tau_i * 2$

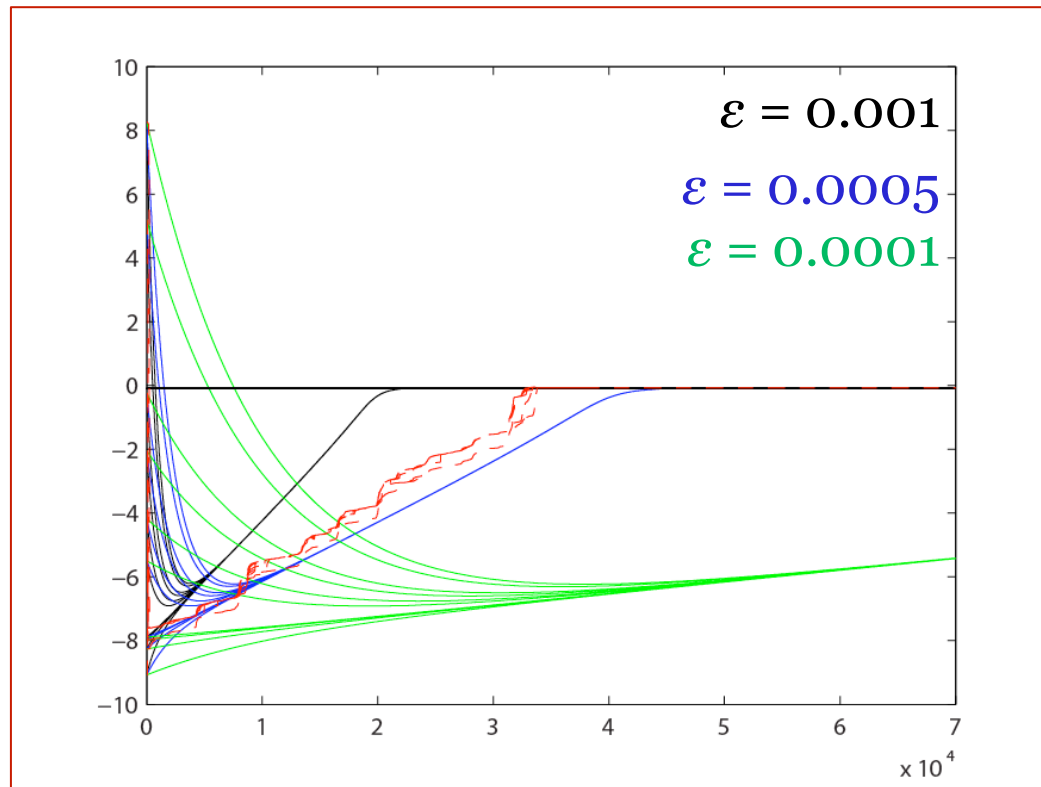
30: **if** $\tau_i > \tau_{max}$ **then** ▷ non superare il periodo massimo

31: $\tau_i = \tau_{max}$

32: **end if**

33: **end if**

Simulazione



- Confrontando con i risultati che si ricavano tenendo fisso il parametro ε , si nota che le prestazioni non sono le migliori possibili, ma sono comunque buone

Conclusioni

- Abbiamo ottenuto un algoritmo che
 - permette di raggiungere buone prestazioni
 - è indipendente dal valore di partenza di ε
 - è in versione distribuita
 - è applicabile al caso asincrono

- Eventuale lavoro futuro
 - Affinamento del tuning del periodo τ